

14 降雨及び流域特性と到達時間及びその時刻の流量との関係について

九州大学工学部 正直 上田 年比古

(1) まえがき 降雨流出のラショナル式における到達時間は、式の構成の理論から考えて、流域最上流端の雨水の影響が流域下流端にあらわされる伝播時間と示すもので、この値は降雨特性、流域特性により異なることと考えられる。本報は中央に一車の河道とその両側に一様な斜面とをもつ模型矩形流域における、降雨及び流域特性と到達時間及びその時刻の流量との間の関係を求めたものである。すなはち図-1(a)のような自然河川と図-1(b)のように模型化し、斜面は一様とし、河道は上下流を通じて勾配、粗度、断面形状同じとする。これに流域全体として一様に、時間的には①一定強度の降雨、②増加三角形分布、③減少三角形分布及び④2種辺三角形分布の有効降雨がある場合、流域最上流端aに降った降雨始めの雨水が降雨を集めながら斜面abを伝播し、河道端bに打出され、次にbから両側より打出す斜面流出量を集めながら河道を伝播し、河道下流端cに到達するまでの時間(到達時間)とその時刻の流量を求め、これらを関係式を導いた。

(2) 斜面流出の基礎式

(a) 斜面流出の基礎方程式 時刻tについて、斜面の上流端から距離zにかかる水深をh、河道に沿う単位中当りの流量をq、有効降雨強度(以下單に降雨強度とする)をrとする。運動方程式としては、近似的にManning式が成立するとして、その斜面の粗度係数をN、斜面勾配をIとすれば、河道に沿う単位中当りの斜面の流出の方程式は

$$\left\{ \begin{array}{l} \text{連続方程式} \quad \frac{\partial h}{\partial t} + \frac{\partial q}{\partial z} = r \\ \text{運動方程式} \quad q = \frac{f}{N} h^{2/3} \end{array} \right. \quad \cdots \cdots (1)$$

(b) 斜面流出の無次元化及び特性曲線表示

(1),(2)式より問題をとくことに至る式、現象の一般化のため、次の無次元化を行ふ。

$$T_0 = \alpha T, \quad Z_0 = \alpha^2 z, \quad t_0 = \alpha^{-2/3} t, \quad q_0 = \alpha^{5/3} q, \quad h_0 = \alpha^{2/3} h \quad \cdots \cdots (3)$$

ここで T_0 は標準雨量強度、 α は定数、 Z_0 は河道片側の斜面長、 t_0 は T_0 の降雨が流域に降り続くとき、斜面上流端の雨水の影響が斜面下流端に伝播する時間、 q_0 は T_0 の降雨が降雨続いて、斜面の流出が定常に達した時の斜面下流端の流量、これは降雨 T_0 の開始後 T_0 時間後に生ずる。 h_0 はその時の斜面下流端の水深である。以下のように定義すれば、

$$q_0 = \frac{B}{2} T_0 \quad \cdots \cdots (4) \quad q_0 = \left(\frac{B T_0}{N I} \right)^{3/5} = \left(\frac{B T_0}{2} \cdot \frac{N}{I} \right)^{3/5} = T_0 f_0 \quad \cdots \cdots (5)$$

$$\therefore T_0 = \left(\frac{B T_0}{2} \cdot \frac{N}{I} \right)^{5/3} / f_0 \quad \cdots \cdots (6)$$

以上を(1),(2)式に代入すれば、

$$\left| \begin{array}{l} \frac{\partial h}{\partial t} + \frac{\partial q}{\partial z} = r \\ q = f_0 h^{5/3} \end{array} \right. \quad \cdots \cdots (7)$$

(7)式に入れよば、

$$\frac{\partial h}{\partial t} + \frac{5}{3} f_0 h^{2/3} \frac{\partial h}{\partial z} = r \quad \cdots \cdots (8)$$

これを特性曲線表示すれば、

$$r = \frac{2f_0}{3} h^{2/3} \quad \cdots \cdots (9)$$



図-1(a)自然の河川流域図

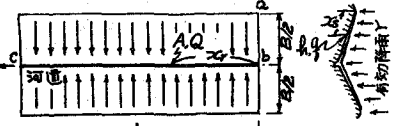


図-1(b)矩形模型流域図及び斜面流出図

(10), (11)式によつて斜面の距離へ時間平面上にあひて降雨を集めて下流に伝播していく状況を示す特性曲線と、 γ の特性曲線上の水深、流量を求めることが出来る。

(C) 斜面の特性曲線式及びその線上の流量、水深をあらわす式

図-2 の左側部に、降雨を集めながら斜面を流下するまで平面の特性曲線を示してある。 $\gamma=0$ が斜面上流端、 $\gamma=1$ が斜面下流端をあらわす。また特性曲線の右側に斜面下流端の流量の曲線が示されている。時刻 γ_0 で斜面上流端を出発する特性曲線(図-2の②曲線)を考えると、 $\gamma=\gamma_0$ とすれば、(11)式より

$$2\gamma \frac{d\gamma}{d\tau} = \gamma \quad \dots \dots (12)$$

$$\frac{d\gamma}{d\tau} = \frac{\gamma}{2} \quad \dots \dots (13)$$

$\gamma=0$ に入口、 $\gamma=\gamma_0$ とすれば、 γ_0 を出発する特性曲線式は

$$2\gamma^{\frac{1}{2}} \frac{d\gamma}{d\tau} \left(\int_{\gamma_0}^{\gamma} \frac{d\gamma}{\gamma} \right)^{\frac{1}{2}} = \gamma \quad \dots \dots (14)$$

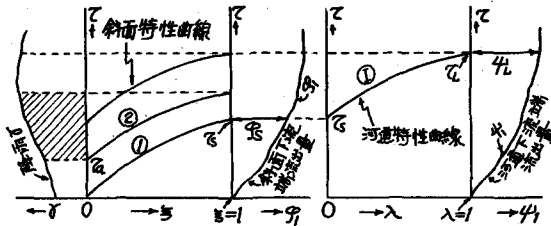


図2 斜面及び河道特性曲線図

(14)式に斜面下流端の条件 $\gamma=1$ を入れて、 τ を求めれば、 γ_0 から τ_0 に斜面上流端を出発した特性曲線が斜面下流端に達する時刻であり、 γ の到達時刻 τ (13)式に入れば、その時刻 τ 斜面下流端の流量である。すなはち γ 曲線を求められる。また図の γ_0 及び τ_0 は降雨開始の雨水の影響が斜面下流端に達する時刻 τ_0 及びその時刻の斜面下流端流量で、上式において $\gamma_0=0$ として求められる。

(3) 河道流出の基礎式

(a) 河道流出の基礎方程式 水量を加えても流下する流れである處にあひて、斜面流出と同様であつて、時刻 t にあひて、河道上流端からの距離 x における流積 A 、流量 Q 、斜面から河道への流入量 $2q_s$ (両側から流入するものとする)とし、大胆な仮定であるが近似的 $=$ Manning式が成立するとして、河道の勾配を i 、粗度係数を n 、溝深 R とすれば、

$$\text{連続方程式} \quad \frac{\partial A}{\partial t} + \frac{\partial Q}{\partial x} = 2q_s \quad \dots \dots (15)$$

$$\text{運動方程式} \quad Q = \frac{1}{n} AR^{\frac{3}{2}} = \frac{1}{n} RA^{\frac{1}{2}} = KA^{\frac{1}{2}} \quad \dots \dots (16)$$

(b) 河道流出の無次元化及び特性曲線表示

(15), (16)式より問題をヒックことにならべ、現象を一般化したまに、次の無次元化を行ふ。

$$t/T_0 = \alpha^{-\frac{2}{3}} \tau, \quad x/L = \lambda, \quad q_s/q_* = \alpha q_*, \quad Q/Q_* = \alpha Q, \quad A/A_* = \alpha^{\frac{1}{2}} S \quad \dots \dots (17)$$

$\lambda > 1$ は河道長、 q_* は γ_0 の降雨が流域に降り続くとき、全流域にわたって流れが定常状態に達したときの河道下流端の流量である。 λ は γ_0 降雨開始後、流域最上流端の雨水の影響が伝播して、河道下流端に達したときに生ずる。 A_* はその時の河道下流端の流積である。やはり(16)式に示すように、河道断面形に関する値であり、著者¹¹が筑後川上流部の各断面から求めたところによると、 $\lambda = 1.45$ 程度である。本計算では、その他文献も参照して、 $\lambda = 1.45$ とした。以上のよきに定義すれば、

$$Q_* = B T_0 L \quad \dots \dots (18) \quad A_* = (Q_*/K)^{\frac{1}{2}} = (B T_0 K)^{\frac{1}{2}} = B T_0 T_r \quad \dots \dots (19)$$

$$\therefore T_r = (B T_0 K)^{\frac{1}{2}} / B T_0 \quad \dots \dots (20)$$

$\lambda > 1$ は T_r は γ_0 の降雨が降り続く、流域全体が定常状態に達したとき、河道下流端の雨水の影響が河道下流端に達する時間である。すなはち降雨 T_0 により生じた定常状態にあひて、

図-1(b) の斜面 \overline{ab} 上雨水が伝播する時間が T_5 、河道 \overline{bc} を伝播する時間が T_7 である。以上の各式を(15), (16)式に代入すれば、

$$\left| \frac{\partial \varphi}{\partial x} + \frac{1}{m'} \frac{\partial \psi}{\partial x} \right| = \frac{1}{m'} \varphi_1 \quad \dots \dots \dots \quad (21)$$

$$\text{Thus } m' = \alpha^{\left(\frac{1}{P} - \frac{3}{5}\right)} \frac{T_P}{T_S} = \alpha^{\left(\frac{1}{P} - \frac{3}{5}\right)} m \quad \dots \dots \dots \quad (22)$$

$$4 = 5^P \quad \dots \dots \dots \quad (23)$$

これを特性曲線表示すれば、 $d\lambda/dz = ps'/m'$ 上式 (25) $dS/dt = q_1/m'$ 式 (26)

(25), (26) 式によつて河道の距離へ時間平面にありて、斜面流出量を集めて下流に伝播してゆく状況を示す特性曲線と、この特性曲線との流積、流量を求めてみることができる。

(C) 河道の特性曲線式及びその線上の流量、流積をあらわす式

図-2 の右側部に、河道上流端で出発して弯曲線を集めながら河道を流下する入~2 平面の特性曲線を示している。入=0 が河道上流端、入=1 が河道下流端である。

この曲線上では $\bar{z} = \bar{s} = 0$ であるから、(26) 式より

$$S = \frac{1}{m} \int_{\Omega} \left(2p \nabla u \cdot \nabla v + \frac{1}{m} \right) = \frac{1}{m} = S \quad (28)$$

$$(29) \quad \lambda = \frac{d}{dt} \left(\frac{d\theta}{dt} \right)^2 \frac{d^2\theta}{dt^2}$$

したがって、河道上流端を時刻 t_0 に出発した特性曲線が、河道下流端に達する時刻、すなはち、求めらる到達時間 T は(28)式に $\lambda = 1$ を入れて求めるればよい。またその時刻の流量 q_0 は、(2)式に $\lambda = 1$ を入れて求めらる。すなはち $\lambda = 1$ をすれば、 q_0 が m' の函数として求めらる。こゝでは計算の便宜上 $\lambda = 1$ とした(29)式で積分上限 $t = T$ を積分方えて、 m' を求め、これらを(28)式に入れて q_0 を算定した。

(4) 降雨分布による α 及び β の値

(a) 一定強度の降雨の場合

$$(3) \text{ 式 } \Rightarrow \alpha \sigma = \tau / \tau_0 = b, \quad \text{従って } \alpha = b, \quad \sigma = 1 \text{ とあ。$$

(b) 增加三角形降雨分布の場合

降雨強度を $r=at$ とすれば, (31)

(3) 式より $\alpha T = r/r_0 = at/r_0 = aT_s \alpha^{-1/2} z/z_0$ 故に $T = z$, $\alpha = (aT_s/r_0)^{1/2}$ とある。---(32)

(C) 減少三角形降雨分布の場合

$$\text{到達時間}を t_L \text{とすれば, } T = a(t_L - t) \quad \cdots \cdots \cdots \quad (33)$$

$$(3) \text{ より } dT = T/T_0 = aT_S d^{-2/3} (Z_L - Z)/T_0 \quad \text{故に } T = Z_L - Z, \quad d = (aT_S/T_0)^{3/4} \text{ とおく。--- (34)}$$

(d) 2 築辺三角形降雨分布の場合

到達時間を t_L とする。増加する部分に對しては $\gamma = at$ とすれば、上記の增加三角形降雨水分布と同様に (32) 式とあく。減少する部分に對しては $\gamma = a(t_L - t)$ とすれば、(34) 式とかけばよい。

(5) 降雨及び流域特性と到達時間及びその時刻の流量との関係式

上記の式、 β を用い、 $\gamma = 1.45$ として、4種の降雨分布について、各々に対する m_1 、 m_2 を算定した。たゞ、一定降雨強度の場合、積みが最後まででき、 $T_f/T_0 = m$ とすれば、

$$T_L = 1 + m' \quad \text{or} \quad T_L = \left\{ 1 + b^{\left(\frac{1}{T} - \frac{3}{5}\right)} m \right\} T_5 b^{-\frac{3}{5}} \quad \dots \dots \quad (35)$$

$$q_e = 1 \quad \text{or} \quad Q_e = bBLr_0 \quad \dots \dots \quad (36)$$

他の3種の降雨型では数値積分によった。これには Simpson 則を用い、小数点以下5桁まで正確でるよう少割を定めて行った。 $m'=0$ のとき $T_L = T_S$ 及び $Q_L = Q_S$ となることが（有効桁5,6桁複数）
う考えて、 $(T_L - T_S) \sim m'$ 及び $(Q_L - Q_S) \sim m'$ を両対数軸に plotすれば、図-3 に示すように、必ずかに上方に凸ではあるが、ほとんど直線なす。図-3 は増加三角形分布に対するものであるが、減少及び2辺三角形分布でも同様であった。故にこれより最小自乗法で関係式を求め、無次元化するとともに整理せば、次の関係式がえられる。

増加三角形降雨分布の場合 $w = 2T_S / \tau_0$ とすれば、
----- (37)

$$T_L = \{1408 + 0.925 (w^{\frac{5}{17} - \frac{3}{7}} m)^{0.966}\} T_S w^{-\frac{3}{17}} \quad \cdots \cdots (38)$$

$$Q_L = \{0986 + 0.658 (w^{\frac{5}{17} - \frac{3}{7}} m)^{0.907}\} BL T_0 w^{5/17} \quad \cdots \cdots (39)$$

減少三角形降雨分布の場合

$$T_L = \{1115 + 0.713 (w^{\frac{5}{17} - \frac{3}{7}} m)^{0.983}\} T_S w^{-\frac{3}{17}} \quad \cdots \cdots (40)$$

$$Q_L = \{0452 + 0.354 (w^{\frac{5}{17} - \frac{3}{7}} m)^{0.945}\} BL T_0 w^{5/17} \quad \cdots \cdots (41)$$

2辺三角形降雨分布の場合

$$T_L = \{1.512 + 0.930 (w^{\frac{5}{17} - \frac{3}{7}} m)^{0.973}\} T_S w^{-\frac{3}{17}} \quad \cdots \cdots (42)$$

$$Q_L = \{0.394 + 0.378 (w^{\frac{5}{17} - \frac{3}{7}} m)^{0.860}\} BL T_0 w^{5/17} \quad \cdots \cdots (43)$$

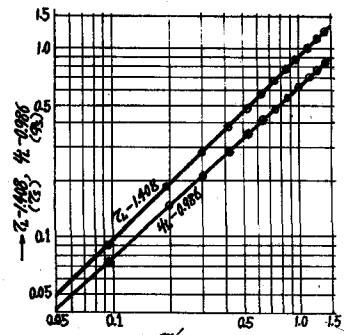


図-3 増加三角形降雨分布における $T_L, Q_L \sim m'$ 図

これらの式の誤差は普通に用いられる範囲 $m' = a_1 \sim 1.0$ においては、 $m' = 1.0$ で最大となるが、その量はほど1%以内で、充満精度をもつ関係式である。また上式(38)～(43)において、 $p=1.45$ に対して $\frac{1}{p}-\frac{3}{7}=0.090$ 、 $\frac{5}{17}-\frac{3}{7}=0.064$ といふかなり小さな値となるので、 $b^{\frac{1}{p}-\frac{3}{7}}$ 及び $w^{\frac{5}{17}-\frac{3}{7}}$ は、 T_0 が適当に取れば、1に近い値である。

降雨強度による T_L, Q_L の変化を例示すれば、図-4 となる。これは他の3種の降雨型でも同様な傾向となる。これがわかるように、降雨が大となると、到達時間は減少し、その時刻の流量は増加する。

(6) もろび (35)～(43) 式は運動方程式に Manning 式が成立するとの仮定のもとにえられた式ではあるが、図-1(b) に示す模型矩形流域における到達時間と、その時刻の流量を求める式である。これらの式は降雨及び流域の各要素の影響、その他流出機構に関する種々なる問題を完明する上に有用なるものと考える。

また T_L に關係する流域特性としては斜面の特性をあらわす(6)式の T_S と、河道の特性をあらわす(20)式の T_0 の2つで代表され、 Q_L に關係する流域特性は流域面積 BL と T_S 及び T_0 とによって代表されることが知られる。これらにまた降雨が大きくなると到達時間は小となり、その時刻の流量は大となることも確認できる。

本研究は昭和34年度文部省科学研究費（各個研究“河川の降雨流出の機構に関する研究”）の援助のもとに行なわれたことを付記し謝意を表する。

文献 1) 篠原謙爾・上田年比古：筑後川上流部の出水解析を2報（特性曲線法による大山川の出水解析について）、九大応用力学研究所報第13号 昭和34年。

2) 末石富太郎：特性曲線による出水解析について、土木学会論文集29号 昭和30年12月。

3) 岩垣雄一・高柳琢馬：降雨及び流域特性が流出関係に及ぼす効果について、京大防災研究所創立5周年記念論文集、昭和31年11月。

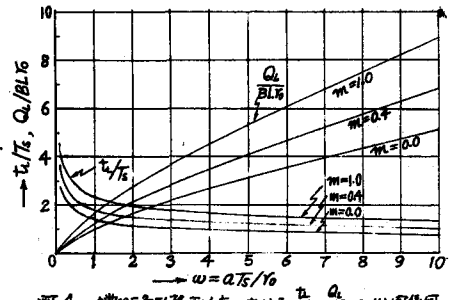


図-4 増加三角形降雨分布における $\frac{T_L}{T_S}, \frac{Q_L}{Q_S} \sim w$ 関係図